

УДК 539.3:534.1

## ДИНАМИЧЕСКАЯ УСТОЙЧИВОСТЬ ПОДКРЕПЛЕННЫХ ЦИЛИНДРИЧЕСКИХ ОБОЛОЧЕК ПРИ НАГРУЖЕНИИ ИМПУЛЬСОМ ВНЕШНЕГО ДАВЛЕНИЯ

Л. В. АНДРЕЕВ, И. Н. КРУШЕЛЬНИЦКИЙ, И. Д. ПАВЛЕНКО,  
Ю. К. ПРИВАРНИКОВ, Е. Ф. ПРОКОПАЛО

(Днепропетровск)

Приведены результаты экспериментального и теоретического исследования устойчивости подкрепленных цилиндрических оболочек при импульсном нагружении. Исследована эффективность подкреплений кольцевого и вафельного типов. Методика расчета подкрепленных оболочек на динамическое радиальное давление построена на основе теории течения полубезмоментных оболочек. Получено удовлетворительное совпадение расчетных и экспериментальных данных.

При создании тонкостенных конструкций, обладающих малым весом и высокой несущей способностью, широкое применение находят оболочки с различными типами подкреплений в виде ребер жесткости. Эффективность таких подкреплений для случая статического нагружения не вызывает сомнений и подтверждается многочисленными экспериментами [1, 2]. Влияние подкрепления на критические нагрузки при нагружении импульсом давления практически не изучено. Теоретические исследования для упругой области [3] показывают, что эффективность подкрепления при динамическом нагружении снижается.

Насколько известно, работы, посвященные экспериментальному исследованию динамической устойчивости подкрепленных оболочек, в литературе вообще отсутствуют.

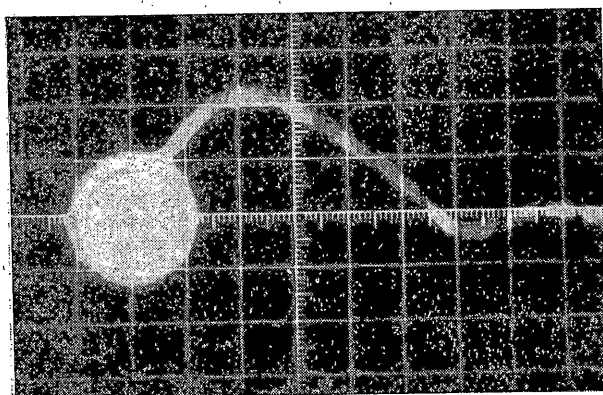
Ниже представлены некоторые экспериментальные и теоретические исследования по оценке влияния различных типов подкреплений на динамическую устойчивость цилиндрических оболочек, нагружаемых импульсом внешнего давления. Проведение экспериментальных исследований в широком диапазоне длительности импульса вызывает большие трудности в связи со сложностью возбуждения и регистрации динамических нагрузок. Тем не менее, некоторые характерные особенности динамического выпучивания подкрепленных оболочек и оценку эффективности различных типов подкреплений удастся установить.

1. Экспериментальные исследования проводились на цилиндрических оболочках пяти типов: гладкие оболочки (I), вафельные оболочки с постоянной жесткостью продольных и кольцевых ребер (II), вафельные оболочки с увеличивающейся к их середине жесткостью продольных и кольцевых ребер (III), оболочки с кольцевыми ребрами одинаковой жесткости (IV), оболочки с кольцевыми ребрами, жесткость которых увеличивается от края к середине (V).

Таблица 1

Тип оболочка	Вес	$h$	$n_1 \times n_2$	$h_1 \times d_1$	$h_2 \times d_2$	$b_1$	$b_2$
	кг	мм		мм·мм	мм·мм	мм	мм
I	0.669	1.0	—	—	—	—	—
II	0.802	0.5	11×4	2×4	2×4	41.5	40
III	0.885	0.5	11×4	3.5×4	3.5×4	41.5	40
IV	0.714	0.5	0×19	—	2.0×7	—	10
V	0.732	0.5	0×19	—	3.0×1.5	—	10
					4.5×1.5		
					1.5×1.5		

Все оболочки имели внутренний радиус  $R=70$  мм и длину рабочей части  $L=200$  мм. Оболочки I, IV и V типов были изготовлены механической обработкой, а II и III типов — механической обработкой с последующим химическим фрезерованием. Материал оболочек — алюминиевый сплав АМГ-6 с характеристиками  $\gamma=2,64$  кг/дм<sup>3</sup>,  $E \approx 6,8 \cdot 10^5$  кг/см<sup>2</sup>,  $\sigma_{0,2}=1600$  кг/см<sup>2</sup>,  $\sigma_b=3200$  кг/см<sup>2</sup>. Параметры оболочек и подкреплений приведены в табл. 1, где приняты следующие обозначения;  $h$  — толщина оболочки,  $n_i$ ,  $h_i$ ,  $d_i$ ,  $b_i$  — число, высота, ширина ребер и расстояние между ними;  $i=1,2$ ;  $i=1$  соответствует продольным ребрам,  $i=2$  — кольцевым. Для оболочек III и V типов указаны минимальные и максимальные параметры подкрепляющих ребер.



Фиг. 1

Динамическое нагружение оболочек проводилось в цилиндрической камере, заполненной водой. Импульс давления создавался при помощи высоковольтного разряда в воде. Величина импульса регистрировалась пьезоэлектрическим датчиком давления, сигнал от которого поступал на электроннолучевой осциллограф и фиксировался фотоприставкой. Фотография типичного импульса давления приведена на фиг. 1. Длительность импульса давления при испытаниях всех оболочек изменялась в пределах  $\pm 5\%$  и составляла в среднем  $3 \cdot 10^{-5}$  сек. Нагружение оболочек статическим давлением проводилось в той же камере. В залитой водой камере давление создавалось сжатым воздухом, поступающим через редуктор.

Потеря устойчивости оболочек при статическом нагружении сопровождалась резким хлопком и значительным падением давления в испытательной камере, что позволяло довольно точно фиксировать величину критической нагрузки по образцовому манометру.

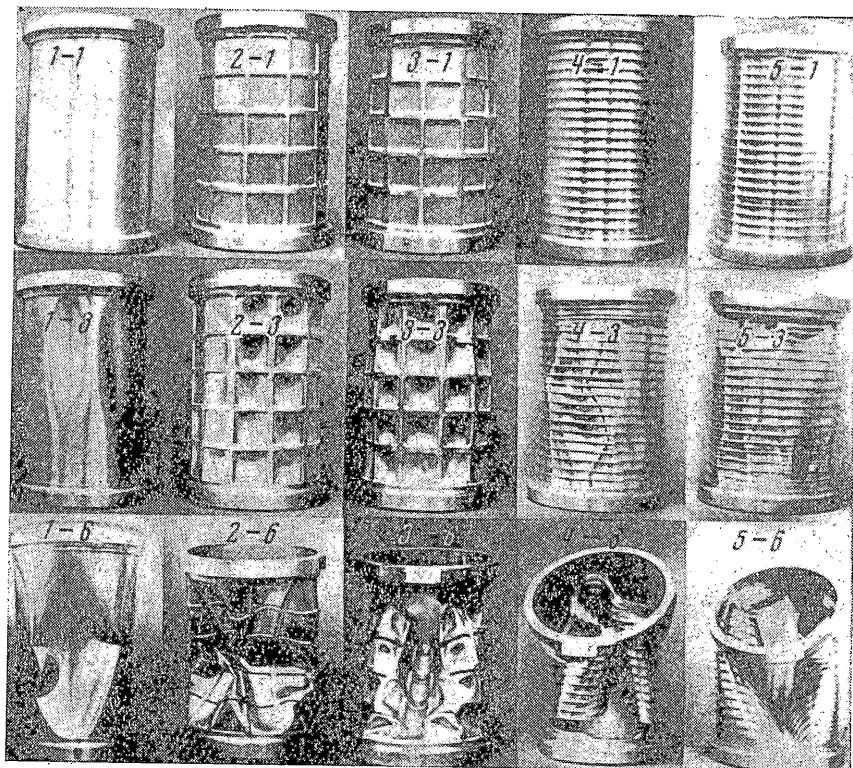
Как при динамических, так и при статических испытаниях оболочки устанавливались соосно с камерой. Осуществлялось две схемы нагружения: всестороннее внешнее давление; радиальное внешнее давление.

В первом случае торцы оболочек герметизировались заглушками, во втором — осевая сила, действующая на заглушки, воспринималась жестким металлическим стержнем, помещенным внутрь оболочки между заглушками. Условия заделки торцов в обоих случаях соответствуют жесткому защемлению.

Испытания оболочек каждого типа проводились в следующей последовательности. Вначале оболочка нагружалась импульсом давления  $I=10^{-2}$  кг·сек/см<sup>2</sup>. Затем действующий импульс увеличивался этапами по

$\Delta I = 0,8 \cdot 10^{-3} \text{ кг} \cdot \text{сек} / \text{см}^2$  до критической величины. Под критическим понимался импульс, в результате действия которого гладкая оболочка получала видимые вмятины со стрелой прогиба порядка толщины и больше, а для подкрепленных наступала общая потеря устойчивости с изгибом ребер (фиг. 2, оболочки 1-3÷5-3). Далее на двух оболочках производилась проверка и уточнение полученного критического значения импульса и, наконец, четвертая оболочка подвергалась статическому нагружению для определения критического давления (фиг. 2, оболочки 1-6÷5-6).

Как при статическом, так и при поэтапном динамическом нагружении у оболочек вафельной конструкции вначале наблюдалась локальная поте-



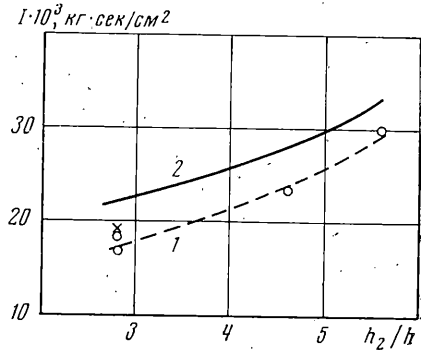
Фиг. 2

ря устойчивости между подкрепляющими ребрами. Величина нагрузки при этом составляла 50–70% нагрузки, соответствующей изгибу ребер. Потеря устойчивости оболочек с равномерным распределением жесткости по длине (типы II и IV) происходила, как правило, с образованием волн, захватывающих все кольцевые ребра. Для оболочек с неравномерным распределением жесткости (типы III и V) образование вмятин наблюдалось в зоне слабых ребер.

Некоторые количественные результаты для оболочек, нагружавшихся всесторонним давлением и импульсом, приведены в табл. 2, где обозначено  $I$  [кг·сек/см<sup>2</sup>] — критический импульс давления,  $q$  [кг/см<sup>2</sup>] — критическое всестороннее статическое давление,  $p_0$  [кг/см<sup>2</sup>] — амплитудная величина давления, вычисленная в предположении, что импульс, показанный на фиг. 1, можно представить полуволной синуса;  $\eta_d$ ,  $\eta_s$  — отношения критических величин импульса и давления для подкрепленных оболочек к со-

ответствующим величинам для гладких оболочек 1 и 4,  $\xi$  — отношение средних весов подкрепленной и гладкой оболочек.

Из табл. 2 следует, что при статическом и динамическом нагружениях критические значения, соответствующие общей потере устойчивости, для подкрепленных оболочек выше, чем те же величины для гладких оболочек. Существенное различие коэффициентов  $\eta_d$  и  $\eta_s$  указывает на значительное снижение эффективности подкрепления при динамическом нагружении по сравнению со статическим, однако это снижение неодинаково для разных типов подкреплений. Наиболее рациональным из исследованных типов подкреплений, по-видимому, следует считать равномерное кольцевое (тип IV), поскольку выигрыш в несущей способности для оболочки типа III не оправдывается значительным проигрышем в весе (32,6%) по сравнению с гладкой. При испытаниях оболочек на радиальное нагружение было установлено, что отсутствие осевой составляющей нагрузки оболочек приводит к увеличению критического им-



Фиг. 3

Таблица 2

№	Тип оболочки	$I \cdot 10^2$	$q$	$p_0/q$	$\eta_d$	$\eta_s$	$I_* T \cdot 10^2$
1	I 1.0	1.43	—	117	1.0	—	2.2
2		1.72	—	140	1.21	—	
3		1.72	—	140	1.21	—	
4		—	6.4	—	—	1.0	
5	II 1.20	1.84	—	64	1.29	—	2.9
6		2.22	—	77	1.56	—	
7		2.22	—	77	1.56	—	
8		—	15.0	—	—	2.34	
9	III 1.32	2.73	—	58	1.91	—	3.3
10		2.95	—	63	2.07	—	
11		2.72	—	58	1.91	—	
12		—	14.5	—	—	3.83	
13	IV 1.08	2.10	—	51	1.47	—	3.3
14		2.52	—	61	1.77	—	
15		2.52	—	61	1.77	—	
16		—	21.5	—	—	3.36	
17	V 1.11	1.93	—	51	1.35	—	3.13
18		2.32	—	61	1.63	—	
19		2.32	—	61	1.63	—	
20		—	20	—	—	3.13	

пульса давления в 1.3—1.5 раза по сравнению с соответствующим всесторонним импульсом. Характер потери устойчивости при действии импульса всестороннего давления показан на фиг. 2. На фиг. 3 показана экспериментальная 1 и теоретическая 2 зависимости критического импульса от

жесткости ребер при чисто радиальном нагружении. Уменьшение высоты ребер в два раза приводит почти к такому же уменьшению критического импульса. На одной из испытанных оболочек ребра высотой  $h_2=2.8$  мм чередовались с ребрами  $h_2=1.4$  мм. В этом случае вмятины образовались на участках между высокими ребрами и захватывали уменьшенное ребро. Критический импульс радиального давления близок к соответствующей величине для оболочки с ребрами  $h_2=1.4$  мм (звездочка на фиг. 3).

2. Для испытанных оболочек типов I, II и IV был проведен расчет величины критического импульса радиального внешнего давления. Система уравнений устойчивости при действии динамического внешнего давления получена, исходя из полубезмоментной теории конструктивно-ортотропных оболочек с учетом эксцентриситеты расположения ребер [4].

В отличие от исследований [3] задача решалась в упруго-пластической постановке. Связь между приращениями напряжений и деформаций в пластической зоне принималась в соответствии с законом ассоциативного течения [5]. Граница упругой и пластической зон определялась из условия Мизеса с учетом упрочнения материала.

Напряженно-деформированное состояние оболочки под действием импульсной нагрузки представляется в виде суммы осесимметричной ( $W^0$ ,  $N_y^0$  и т. д.) и изгибной (возмущенной  $W$ ,  $\delta N_x$  и т. д.) составляющих. Если учесть малость возмущений, то при таком представлении система линейаризуется относительно изгибной составляющей и принимает вид

$$(2.1) \quad \frac{1}{R} N_y^0 = -\rho h (1 + \omega_1 + \omega_2) \frac{\partial^2 W^0}{\partial t} + P(t)$$

$$R \frac{\partial^4 \delta M_y}{\partial y^4} + \frac{1}{R} \frac{\partial^2 \delta M_y}{\partial y^2} + \frac{\partial^2 \delta N_x}{\partial x^2} + R N_y^0 \frac{\partial^4 (W - W_0)}{\partial y^4} =$$

$$= -\rho h (1 + \omega_1 + \omega_2) \frac{\partial^2 W^0}{\partial t \partial y^2}$$

где  $\omega_i = F_i / b_i h$  ( $i=1,2$ ),  $F_i$  — площадь ребра,  $\rho$  — плотность материала оболочки,  $E_t$  — касательный модуль.

Вычисление приращений погонных усилий  $\delta N_x$ ,  $\delta N_y$  и момента  $\delta M_y$  с учетом зависимостей приращений в упругой и пластической областях приводит к следующим выражениям:

$$(2.2) \quad \frac{\delta N_x (1 - \nu^2)}{Eh} = a_{11} \delta \epsilon_x + a_{12} \delta \epsilon_y + k_{12} \delta \kappa_y$$

$$\frac{\delta N_y (1 - \nu^2)}{Eh} = a_{21} \delta \epsilon_x + a_{22} \delta \epsilon_y + k_{22} \delta \kappa_y$$

$$\frac{12 \delta M_y (1 - \nu^2)}{Eh} = k_{21} \delta \epsilon_x + k_{22}^* \delta \epsilon_y + \mu_2 \delta \kappa_y$$

Для случая внешнего подкрепления прямоугольными ребрами жесткости коэффициенты  $a_{ij}$ ,  $k_{ij}$ ,  $\mu_2$  имеют вид:

а) если граница упругой и пластической зон приходит по подкреплению (обшивка — в упругой области)

$$(2.3) \quad a_{11} = 1 + \omega_1 (1 - \nu^2), \quad a_{12} = \nu, \quad a_{12} = a_{21}$$

$$a_{22} = \left\{ 1 + \omega_2 \left[ \frac{1}{\varphi_h} - \left( 1 - \frac{1}{\varphi_h} \right) \frac{Z_0 + 1/2}{\gamma_2} \right] (1 - \nu^2) \right\}, \quad k_{12} = k_{21} = 0$$

$$k_{22} = -\omega_2 h \left\{ \frac{(Z_0 + 1/2)(Z_0 - 1/2)}{2\nu} \left( 1 - \frac{1}{\varphi_h} \right) + \frac{\gamma_2 + 1}{2\varphi_h} \right\}, \quad k_{22}^* = \frac{12}{h^2} k_{22}$$

$$\mu_2 = 1 + \frac{EI_2}{b_2 D} \left\{ \frac{1}{\varphi_h} + \left(1 - \frac{1}{\varphi_h}\right) \frac{(Z_0 + 1/2) [(Z_0 + 1/2)^2 + 3(Z_0 + 1/2)^2]}{\gamma_2 [\gamma_2^2 + 3(\gamma_2 + 1)^2]} \right\}$$

б) если граница упругой и пластической зон проходит по обшивке

$$(2.4) \quad \begin{aligned} a_{11} &= 1 + \omega_1(1 - \nu^2) - \frac{(\varphi_h - 1)(1 - 2\nu)^2}{(5 - 4\nu)\varphi_h - (1 - 2\nu)^2} \left( \frac{1}{2} + Z_0 \right) \\ a_{12} &= \nu + \frac{(\varphi_h - 1)(2 - \nu)(1 - 2\nu)}{(5 - 4\nu)\varphi_h - (1 - 2\nu)^2} \left( \frac{1}{2} + Z_0 \right) \quad a_{12} = a_{21} \\ a_{22} &= 1 - \frac{(\varphi_h - 1)(2 - \nu)^2}{(5 - 4\nu)\varphi_h - (1 - 2\nu)^2} \left( \frac{1}{2} + Z_0 \right) + \frac{\omega^2(1 - \nu^2)}{\varphi_h} \\ k_{12} &= \frac{h}{2} \frac{(\varphi_h - 1)(1 - 2\nu)(2 - \nu)}{(5 - 4\nu)\varphi_h - (1 - 2\nu)^2} \left( \frac{1}{4} - Z_0^2 \right), \quad k_{21} = \frac{12}{h^2} k_{12} \\ k_{22} &= -\frac{h}{2} \frac{(\varphi_h - 1)(2 - \nu)^2}{(5 - 4\nu)\varphi_h - (1 - 2\nu)^2} \left( \frac{1}{4} - Z_0^2 \right) + \frac{\omega_2(\gamma_2 + 1)h}{2\varphi_h} \\ k_{22}^* &= \frac{12}{h^2} k_{22} \\ \mu_2 &= \frac{EI_2}{b_2 D \varphi_h} + 1 - \frac{(\varphi_h - 1)(2 - \nu)^2}{(5 - 4\nu)\varphi_h - (1 - 2\nu)^2} \left( \frac{1}{2} + 4Z_0^3 \right) \\ \varphi_h &= E/E_t, \quad \gamma_i = h_i/h, \quad Z_0 = Z_0^*/h \end{aligned}$$

где  $EI_2$ ,  $Z_0^*$  — изгибная жесткость шпангоута относительно срединной поверхности обшивки и расстояние от той же поверхности до границы упругой и пластической зон. Значения коэффициентов  $a_{ij}$ ,  $k_{ij}$  приведены для случая внешнего подкрепления и выпучивания внутрь. Как показали расчеты, такой форме выпучивания соответствуют меньшие критические нагрузки.

В дальнейшем предполагается, что положение границы раздела упругой и пластической зон не зависит от координат  $x$ ,  $y$ , а величина  $Z_0$  определяется из условия текучести Мизеса.

Связь между деформациями и нормальным прогибом определяется уравнением совместности деформаций, которое с учетом допущений полубезмоментной теории [6] имеет вид

$$(2.5) \quad \frac{\partial^2 \delta \varepsilon_x}{\partial y^2} = -\frac{1}{R} \frac{\partial^2 W}{\partial x^2}$$

Связь между приращениями  $\delta \varepsilon_y$ ,  $\delta \varepsilon_x$  и  $\delta \kappa_y$  устанавливается из выражения для приращения кольцевого погонного усилия

$$(2.6) \quad \delta \varepsilon_y = \frac{1}{a_{22}} \left( \frac{\delta N_y (1 - \nu^2)}{Eh} - a_{21} \delta \varepsilon_x - k_{22} \delta \kappa_y \right)$$

причем  $\delta N_y$  определяется из уравнения осесимметричного движения оболочки.

Подставив (2.3) в (2.2), с учетом соотношений (2.3) — (2.6) получим

$$(2.7) \quad \frac{N_y^0}{R} = -\rho h (1 + \omega_1 + \omega_2) \frac{\partial^2 W^0}{\partial t^2} + P(t)$$

$$DR \left( \mu_2 - \frac{k_{22}^* k_{22}}{a_{22}} \right) \frac{\partial^8 W}{\partial y^8} + \frac{D}{R} \left( \mu_2 - \frac{k_{22}^* k_{22}}{a_{22}} \right) \frac{\partial^6 W}{\partial y^6} +$$

$$+ \left[ \left( \frac{k_{22}^* a_{21}}{a_{22}} - k_{21} \right) D + \left( \frac{a_{12} k_{22}}{a_{22}} - k_{12} \right) B \right] \frac{\partial^6 W}{\partial x^2 \partial y^4} +$$

$$+ B \frac{a_{11}}{R} \frac{\partial^4 W}{\partial x^4} + N_y R \frac{\partial^6 (W - W_0)}{\partial y^6} = - \rho h (1 + \omega_1 + \omega_2) \frac{\partial^6 W}{\partial y^4 \partial t^2}$$

$$B = Eh / (1 - \nu^2), \quad D = Eh / 12 (1 - \nu^2)$$

где  $B, D$  — жесткости на изгиб и растяжение обшивки.

Аппроксимирующее выражение полного и начального прогибов принимаются в виде

$$(2.8) \quad W = W_n(t) \sin \frac{\pi x}{L} \sin \frac{n y}{R}, \quad W_0 = W_{n0} \sin \frac{\pi x}{L} \sin \frac{n y}{R}$$

Подстановкой (2.8) в (2.7) при помощи метода Бубнова — Галеркина осуществляется переход к системе уравнений движения относительно обобщенных координат

$$(2.9) \quad \frac{d^2 w^\circ}{d\tau^2} + \frac{N_y^\circ}{Eh(1 + \omega_2)} = p(\tau) - \frac{a_0 \rho_0 R}{\alpha \rho h \sqrt{(1 + \omega_1 + \omega_2)(1 + \omega_2)}} \frac{dw^\circ}{d\tau}$$

$$\frac{d^2 w_n}{d\tau^2} + \frac{1}{k_n} \left\{ \frac{h^2}{12R^2(1 - \nu^2)(1 + \omega_2)} \left[ \mu_2^* n^2 (n^2 - 1) - A + \right. \right.$$

$$\left. \left. + \frac{12a_{11}}{n^4} \left( \frac{\pi^2 R^3}{L^2 h} \right)^2 \right] - \frac{N_y n^2}{Eh(1 + \omega_2)} \right\} w_n = \frac{N_y n^2}{Eh(1 + \omega_2)} w_{n0}$$

$$\frac{N_y}{R} = \frac{Eh}{R(1 - \nu^2)} \int_0^{\varepsilon_0} a_{22} d\varepsilon_0, \quad \varepsilon_0 = w^\circ = \frac{W^\circ}{R}$$

$$\tau = \omega_0 t, \quad \omega_0 = \frac{1}{R} \sqrt{\frac{E(1 + \omega_2)}{\rho(1 + \omega_1 + \omega_2)}}, \quad p = \frac{PR}{Eh(1 + \omega_2)}$$

$$\mu_2^* = \mu_2 - \frac{k_{22}^* k_{22}}{a_{22}}, \quad A = 2 \left( \frac{k_{22}^* a_{21}}{a_{22}} - k_{21} \right) h \frac{\pi^2 R^3}{L^2 h}$$

где  $a_0, a$  — скорости звука в жидкости и металле,  $\rho_0 \rho$  — плотности жидкости и металла.

Члены уравнений, содержащие  $a_0$  и  $k_n$ , учитывают влияние окружающей среды. При этом для осесимметричного движения вводится гипотеза плоского отражения (гидродинамические силы при движении оболочки задаются выражением  $\Delta P = \rho_0 a_0 dw^\circ / dt$ . Влияние жидкости на изгибные формы учитывается по формуле В. В. Новожилова

$$k_n = 1 + \frac{\rho_0 R}{\rho h (1 + \omega_1 + \omega_2)} \frac{1}{\sqrt{n^2 + \alpha^2}}, \quad \alpha = \frac{\pi R}{L}$$

Система уравнений (2.9) совместно с условием текучести Мизеса  $T=\tau$ , интегрировалась численно методом Адамса на ЭВЦМ. Величина начальной погиби принималась равной 0.01, что соответствует замерам начальной погиби у серий точечных оболочек, проведенных до испытаний. В качестве критерия устойчивости принимался остаточный изгибный прогиб равный толщине оболочки.

При решении системы уравнений (2.9) принимались нулевые начальные условия для нормальных прогибов. Был проведен расчет критических нагрузок гладких и подкрепленных равномерными ребрами оболочек (типы I, II и IV). Результаты расчета критического импульса  $I_*^T$  приведены в табл. 2. Наблюдается хорошее качественное согласование результатов расчета и экспериментальных данных. Количественное отличие расчета и эксперимента можно объяснить погрешностями в измерительной схеме и приближенным учетом влияния жидкости. Как показано в [6], применение гипотезы плоского отражения для учета влияния жидкости в осесимметричном движении оболочки в упругом случае занижает осесимметричный прогиб (а следовательно, завышает критические нагрузки) на 20%. Кроме того, расчет не учитывал наличие осевой составляющей динамической нагрузки.

Поступила 29 IX 1972

#### ЛИТЕРАТУРА

1. *Вольмир А. С.* Устойчивость деформируемых систем. М., «Наука», 1967.
2. *Кабанов В. В.* К расчету на устойчивость конструктивно анизотропных оболочек за пределами упругости. Инж. ж. МТГ, 1967, № 5.
3. *Шумик М. А.* Устойчивость цилиндрических оболочек при действии динамического радиального давления. Тр. VII Всес. конф. по теории пластин и оболочек (Днепропетровск, 1969). М., «Наука», 1970.
4. *Теребушко О. И.* О влиянии расположения ребер на величину критической нагрузки цилиндрической подкрепленной оболочки. В сб.: Расчет пространственных конструкций, вып. 11. М., Стройиздат, 1967.
5. *Качанов Л. М.* Основы теории пластичности. М., «Наука», 1969.
6. *Власов В. З.* Основные дифференциальные уравнения общей теории упругих оболочек. ПИММ, 1944, т. 8, вып. 2.